

УДК 532.542.86.(088.8)

ТЕОРИЯ ФЕНОМЕНА РИЙКЕ В СИСТЕМЕ С СОСРЕДОТОЧЕННЫМИ ПАРАМЕТРАМИ

Б. И. БАСОК, В. В. ГОЦУЛЕНКО

Институт гидромеханики НАН Украины, Киев

Получено 02.07.2010

Феномен Рийке теоретически описан посредством введения в дискретную модель теплоподвода его напорной характеристики. Она определит ту часть подведенной к потоку теплоты, которая преобразуется в его напор. Восходящая ветвь указанной характеристики является причиной возбуждения автоколебаний.

Феномен Рийке теоретично описано завдяки введенню в дискретну модель теплопроводу його напірної характеристики. Вона визначає ту частину підведеної до потоку теплоти, яка перетворюється у його напір. Висхідна гілка вказаної характеристики є причиною збудження автоколивань.

The Rijke phenomenon is described theoretically by introducing of pressure head characteristic in the discrete model of a heat-conducting system. It defines the share of heat supplied to the flow converting to its pressure head. The ascending branch of mentioned characteristic is the reason for exciting of self-oscillations.

ВВЕДЕНИЕ

Нисходящие ветви отрицательных сопротивлений любой природы или их неоднозначность известны как причина самовозбуждения автоколебаний [1]. Автоколебания (помпаж) лопастных нагнетателей в практике их эксплуатации возникают из-за наличия восходящей ветви или петли гистерезиса их напорных характеристик [2]. Согласно теории центробежных нагнетательных машин, неустойчивая восходящая ветвь напорной характеристики располагается в области малых подач. Причина ее образования – вихревые потери, которые возрастают с уменьшением расхода и могут трактоваться как отрицательное сопротивление. В статье [3] показано, что дестабилизирующая роль вязкости является следствием закона запаздывания в передаче действия в вязкой среде, а это запаздывание может изменить знак эффективного трения, т. е. вызвать неустойчивость. В работе [4] рассмотрено образование отрицательного сопротивления и возникновение автоколебаний в потоке жидкости с экспоненциальной зависимостью ее вязкости от температуры, причиной которой является ее саморазогрев. Отрицательное сопротивление в жидкости также служит причиной периодической работы сифона в режиме разрывных (релаксационных) автоколебаний [5].

В монографии [6], авторы которой провели значительное число экспериментальных исследований феномена Рийке, утверждается, что причины самовозбуждения автоколебаний не могут быть объяснены классической моделью волновых про-

цессов. В статье [7] обоснован механизм влияния отрицательного сопротивления на зависимости гидравлических потерь по длине трубы Рийке при постоянном тепловом потоке. Применение его позволило теоретически определить закономерности феномена Рийке. В исследовании [8] найдены нисходящие ветви теплового сопротивления, образующиеся при политропном подводе тепла. В работе [9] определена порождаемая гистерезисным аттрактором своеобразная форма автоколебаний феномена Рийке, которая наблюдалась в экспериментах Леммана [10]. В статье [11] рассмотрены способы стабилизации стационарного режима в трубе Рийке путем периодического импульсного изменения дополнительной акустической гибкости, что является разновидностью реализации принципа дискретно-импульсного ввода энергии. Теоретическое описание феномена Рийке, в основу которого положены механизмы отрицательных сопротивлений, качественно и количественно подтверждаются результатами экспериментов [6, 12].

1. ПОСТАНОВКА ЗАДАЧИ И МАТЕМАТИЧЕСКАЯ МОДЕЛЬ ОБЪЕКТА ИССЛЕДОВАНИЯ

Трубу Рийке (рис. 1) будем рассматривать как динамическую систему с сосредоточенными параметрами. Для вывода уравнений движения нагретой среды воспользуемся уравнениями баланса импульса массы, неразрывности и энергии. Характер движения нагретого воздуха в трубе определяется напорной характеристикой $F(Q_T)$, зависящей

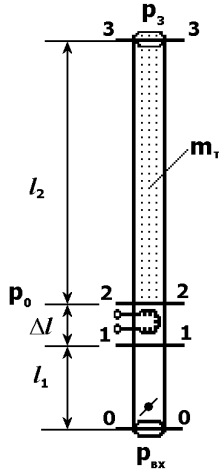


Рис. 1. Схема трубы Рийке

от теплового потока $W_э$, выделяемого электронагревателем. Задача данного исследования – обоснование схемы расчета напорной характеристики $F(Q_T)$ и определение автоколебаний в трубе Рийке как динамической системе с сосредоточенными параметрами.

Для составления уравнения баланса импульсов, рассмотрим силы, действующие на нагретый столб воздуха, заключенный в сечениях 2–2 и 3–3 в трубе Рийке (см. рис. 1). К ним относятся $F_p = (p_2 - p_3)S$ – сила поверхностного давления, $F_{веса} = \rho_T g l_2 S$ – сила веса и $F_{тр}$ – сила вязкостного трения по длине трубы при движении нагретой среды. Согласно принципу Даламбера,

$$m_T \frac{dw_T}{dt} = (p_2 - p_3)S - \rho_T g l_2 S - F_{тр}, \quad (1)$$

где $m_T = \rho_T l_2 S$ – масса нагретого столба воздуха; w_T – скорость подъема нагретого воздуха после электронагревателя; S – площадь нормального сечения трубы.

Полагая $h_{тр} = F_{тр}/S$ и используя соотношения $p_1 - p_2 = h_T + h_{сет}$, $p_0 = p_3 + \rho_0 g l_2$, из равенства (1) имеем

$$L_a \frac{dQ_T}{dt} = F(Q_T) - P, \quad (2)$$

где h_T – потери давления из-за теплоподвода, выражение для которых будет получено ниже; p_0 – давление в сечении 2–2 снаружи трубы; $h_{сет} = k_{сет} Q_T^2$ – потери при обтекании сетки нагревателя. Кроме того, в выражении (2) $L_a = \rho_T l_2 / S$ – акустическая масса нагретого столба воздуха [7, 9], $F(Q_T) = A(Q_T) - h_{тр}(Q_T) - h_T(Q_T) - h_{сет}(Q_T)$ – напорная характеристика трубы Рийке [7, 9, 11]; $A(Q_T) = g l_2 (\rho_0 - \rho_T)$ – давление подъемной силы;

$Q_T = w_T S$ – объемный расход нагретого воздуха; $P = p_0 - p_1$.

Запишем уравнение неразрывности для участка между сечениями 0–0 и 2–2 вертикальной трубы:

$$\frac{dM}{dt} = Q_{вх} \rho_0 - Q_T \rho_T. \quad (3)$$

Здесь $M = M(t)$ – масса холодного столба воздуха, расположенного до электроспирали в момент времени t ; $Q_{вх}$ – объемный расход воздуха, входящего в трубу через сечение 0–0; ρ_0 и ρ_T – плотности потока до и после источника тепла соответственно. Тогда $dM = V d\rho_1$, где $V = S l_1$ – объем трубы до электроспирали; $d\rho_1 / \rho_1 = c_1^2$, где c_1 – скорость звука в среде до нагревателя.

Таким образом, уравнение (3) можно представить в следующей форме:

$$C_a \frac{dp_1}{dt} = \frac{\rho_0}{\rho_T} Q_{вх} - Q_T,$$

где $C_a = V / (c_1^2 \rho_T)$ – акустическая гибкость трубы [2]. Далее,

$$p_{вх} = p_0 + \rho_0 g (l_1 + \Delta l), \quad (4)$$

$$p_{вх} - p_1 = \rho_0 g l_1 + k_{др} Q_{вх}^2 + k_{тр} Q_{вх}^2,$$

где $p_{вх}$ – давление окружающей среды на входе в трубу; $k_{др} Q_{вх}^2$ – гидравлические потери при обтекании дросселя; $k_{тр} Q_{вх}^2$ – гидравлические потери перед нагревателем, обусловленные вязкостью. Исключая в соотношениях (4) давление $p_{вх}$, получим

$$p_0 - p_1 = k_{вх} Q_{вх}^2 - \rho_0 g \Delta l,$$

где $k_{вх} = k_{др} + k_{тр}$. Величина Δl имеет порядок толщины спирали электронагревателя и ею можно пренебречь. Тогда

$$P = p_0 - p_1 \approx k_{вх} Q_{вх}^2$$

и, следовательно,

$$\frac{\rho_0}{\rho_T} Q_{вх} = \varphi(P),$$

где $\varphi(P) = k_\varphi \sqrt{P}$; $k_\varphi = \rho_0 / (\sqrt{k_{вх} \rho_T})$. Учитывая, что $p_0 = \text{const}$, получаем $dP(t) = -dp_1(t)$. Окончательно уравнение (3) принимает вид

$$C_a \frac{dP}{dt} = Q_T - \varphi(P). \quad (5)$$

Полученная нелинейная диссипативная динамическая система (2), (5) формально совпадает с

уравнениями теории помпажа лопастных нагнетателей [2]. В компрессорах в напор потока превращается механическая энергия вращения, а в трубе Рийке напор возникает из-за частичного преобразования в него подводимой теплоты.

Таким образом, в рамках рассматриваемой модели трубы Рийке задача о самовозбуждении термоакустических автоколебаний математически свелась к исследованию причин, приводящих к образованию периодических решений в нелинейной автономной системе дифференциальных уравнений (2), (5). Известно, что это наблюдается тогда и только тогда, когда соответствующее уравнение интегральных кривых

$$\frac{dP}{dQ_T} = \frac{L_a}{C_a} \frac{Q_T - \varphi(P)}{F(Q_T) - P} \quad (6)$$

имеет предельный цикл, структура которого определяется величиной волнового сопротивления $Z = \sqrt{L_a/C_a}$ [2].

Также установлено, что необходимое условие образования предельного цикла для уравнения (6) – наличие восходящей ветви $dF(Q_T)/dQ_T > 0$ на напорной характеристике $F(Q_T)$ [2, 7]. В свою очередь, она появляется тогда, когда на зависимостях $h(Q_{тр})$ и $h(Q_T)$ имеются нисходящие участки отрицательных сопротивлений. Механизм возбуждения автоколебаний, основанный на обратной связи через отрицательное сопротивление, наиболее типичен для электрических систем [1] и в теории помпажа [2].

2. ВЫЧИСЛЕНИЕ ХАРАКТЕРИСТИК ТРУБЫ РИЙКЕ

Далее будет показано, что зависимости $h(Q_{тр})$ и $h(Q_T)$ действительно имеют нисходящие ветви отрицательных сопротивлений. Расчетное выражение для $h(Q_{тр})$ получим, используя формулу Дарси–Вейсбаха, а тепловое сопротивление $h(Q_T)$ [8] определим из уравнения энергии для потока в форме первого закона термодинамики.

Расчет напорной характеристики трубы Рийке заключается в следующем. Задаемся мощностью $W_{\text{э}}$ теплового потока от электроспирали. Он идет на нагрев массового расхода $m = w_T \rho_T S$, который регулируется дросселем на входе в трубу. Для исключения потерь тепла в окружающую среду боковую поверхность трубы предполагаем теплоизолированной. Таким образом, наблюдается равенство тепловых потоков

$$W_{\text{э}} = c_{пм} \Big|_{T_0}^T m (T - T_0), \quad (7)$$

где $c_{пм} \Big|_{T_0}^T$ – средняя удельная массовая теплоемкость при политропном теплоподводе в интервале нагрева от температуры T_0 до T . Известно, что

$$c_{пм} = c_{v_m} \frac{n - k}{n - 1},$$

где n – показатель политропы; k – показатель адиабаты; c_{v_m} – удельная массовая теплоемкость изоэнтального процесса. Для воздуха

$$c_{v_m}(T) = 10^3 [0.657 + 0.00009349(T + T_0)].$$

Скорость нагретого воздуха после электроспирали определяем из уравнения неразрывности:

$$w_T = \frac{m}{S \rho_T}, \quad (8)$$

где $S = \pi d^2/4$; d – диаметр трубы. Плотность ρ_T нагретого воздуха находится из соотношения

$$\rho_T(T) = \rho_0 \left(\frac{T}{T_0} \right)^{1/(n-1)}, \quad (9)$$

где T_0 – температура окружающей среды. Соотношение (9) получено с использованием уравнений политропы и состояния: $p/\rho^n = p_0/\rho_0^n$ и $p/\rho = RT$.

Таким образом, из формул (7)–(9) следует

$$w_T(T) = \frac{n-1}{n-k} \frac{W_{\text{э}}}{c_{v_m} \rho_0 S (T - T_0)} \left(\frac{T_0}{T} \right)^{1/(n-1)}. \quad (10)$$

Из соотношения (10) для объемного расхода $Q_T = S w_T$ нагретого воздуха получается выражение

$$Q_T = \frac{n-1}{n-k} \frac{W_{\text{э}}}{c_{v_m} \rho_0 (T - T_0)} \left(\frac{T_0}{T} \right)^{1/(n-1)}. \quad (11)$$

Запишем формулу Дарси–Вейсбаха, определяющую гидравлические вязкостные потери давления по длине трубы на участке движения нагретого воздуха:

$$h_{тр} = \lambda \frac{l}{d} \rho_T \frac{w_T^2}{2}. \quad (12)$$

Здесь $\lambda = \lambda(\text{Re})$ – коэффициент гидравлических потерь по длине для гидравлически гладкой трубы, определяемый в зависимости от режима движения:

$$\lambda(\text{Re}) = \begin{cases} \frac{64}{\text{Re}} & \text{при } \text{Re} \leq \text{Re}_{кр}, \\ \frac{0.3164}{\text{Re}^{0.25}} & \text{при } \text{Re} > \text{Re}_{кр}. \end{cases} \quad (13)$$

Здесь $Re = w_T d / \nu$ – число Рейнольдса; $Re_{кр}$ – критическое значение числа Рейнольдса, определяющее переход от ламинарного течения к турбулентному; $\nu = \nu(T)$ – коэффициент кинематической вязкости воздуха. Для гидравлически идеальных труб критическое число Рейнольдса $Re_{кр} \approx 2320$.

Объединив выражения (12) и (13), окончательно приходим к следующему соотношению для вязкостных потерь по длине трубы:

$$h_{тр} = \begin{cases} \frac{32l_2\nu(T)w_T(T)\rho_T(T)}{d^2}, & \text{если } w_T(T) \leq \frac{\nu(T)Re_{кр}}{d}, \\ \frac{0.3164}{2} \frac{l_2}{d^{1.25}} [\nu(T)]^{0.25} [w_T(T)]^{0.75} \rho_T(T), & \\ \text{если } w_T(T) > \frac{\nu(T)Re_{кр}}{d}. \end{cases} \quad (14)$$

Таким образом, рассматривая температуру T нагретой части трубы как параметр, из (10) и (14) можно получить функциональную зависимость $h_{тр} = h_{тр}(w_T)$.

Участок нисходящей ветви в зависимости $h_{тр}(w_T)$, см. рис. 2, а, образуется в области ламинарного режима при малых значениях w_T . Это связано с тем, что с увеличением скорости нагретого воздуха w_T при постоянном тепловом потоке $W_3 = \text{const}$ его температура T снижается. В свою очередь, это приводит к уменьшению вязкости воздуха ν . Напомним, что с ростом температуры вязкость газов (в отличие от жидкостей) не уменьшается, а наоборот, увеличивается. Следовательно, зависимость $\nu = \nu(T)$ – монотонно возрастающая. Тогда величина $\nu(T)w_T(T)\rho_T(T)$ с ростом w_T уменьшается. Однако при дальнейшем увеличении w_T , когда $w_T > \nu Re_{кр}/d$, режим движения становится турбулентным. Исходя из второго соотношения (14), $h_{тр}(w_T)$ в этом случае становится монотонно возрастающей функцией. Таким образом, в области ламинарного режима движения на зависимости гидравлических потерь по длине нагретого участка трубы Рийке образуется участок отрицательного сопротивления.

При подводе теплоты даже в гидравлически идеальной жидкости возникают потери – тепловое сопротивление. По-видимому, это понятие впервые было введено в монографии [13]. Для несжимаемой жидкости Б. В. Раушенбахом в [10] была получена возрастающая зависимость для $h_T(w_T)$. При произвольном политропном подводе теплоты получим выражение для $h_T(w_T)$ из уравнения

энергии для идеального газа:

$$q + \frac{p_1}{\rho_1} + \frac{w_1^2}{2} + u_1 = \frac{p_2}{\rho_2} + \frac{w_2^2}{2} + u_2 + \Delta h_T, \quad (15)$$

где Δh_T – потери энергии из-за теплового сопротивления; q – подводимый удельный тепловой поток; u_1 и u_2 – удельная внутренняя энергия воздуха до и после нагревателя соответственно. В соотношении (15) не учитывается потенциальная энергия подъема столба газа ввиду ее незначительного изменения при достаточно близком расположении рассмотренных сечений 1–1 и 2–2. При политропном подводе теплоты, когда

$$q = c_v \frac{n-k}{n-1} (T_2 - T_1),$$

где c_v – удельная теплоемкость изохорного процесса; n и k показатели политропы и адиабаты соответственно, с учетом зависимостей

$$\frac{p_2}{\rho_2} - \frac{p_1}{\rho_1} = R(T_2 - T_1),$$

$$R(T_2 - T_1) = c_v(k-1)(T_2 - T_1),$$

уравнение (15) позволяет определить Δh_T в таком виде:

$$\Delta h_T = n \frac{k-1}{1-n} c_v (T_2 - T_1) + \frac{w_1^2 - w_2^2}{2},$$

откуда, полагая $h_T = \rho_1 \Delta h_T$, для теплового сопротивления получаем выражение

$$h_T = n\rho_1 \frac{k-1}{1-n} c_v (T_2 - T_1) + \frac{\rho_1 w_1^2}{2} \left[1 - \left(\frac{T_1}{T_2} \right)^{2/(n-1)} \right]. \quad (16)$$

Для изобарного процесса $n=0$ и из формулы (16) следует

$$h_T = \frac{\rho_T^2}{2\rho_0} \left[1 - \left(\frac{T}{T_0} \right)^2 \right] w_T^2. \quad (17)$$

Зависимости (10) и (17) можно рассматривать как параметрическое (через температуру T) представление функции $h_T = h_T(w_T)$ или $h_T = h_T(Q_T)$, если учесть, что $Q_T = w_T S$. Аналогично, исключая T из уравнения (9) и зависимости для давления подъемной силы $A = gl_2(\rho_0 - \rho_T(T))$, получаем функцию $A = A(w_T)$ или $A = A(Q_T)$. Местное гидравлическое сопротивление $h_{сет}(Q_T)$, вызванное внесением в трубу электроспиралью, определяется ее конструкцией. Для простоты будем им пренебрегать.

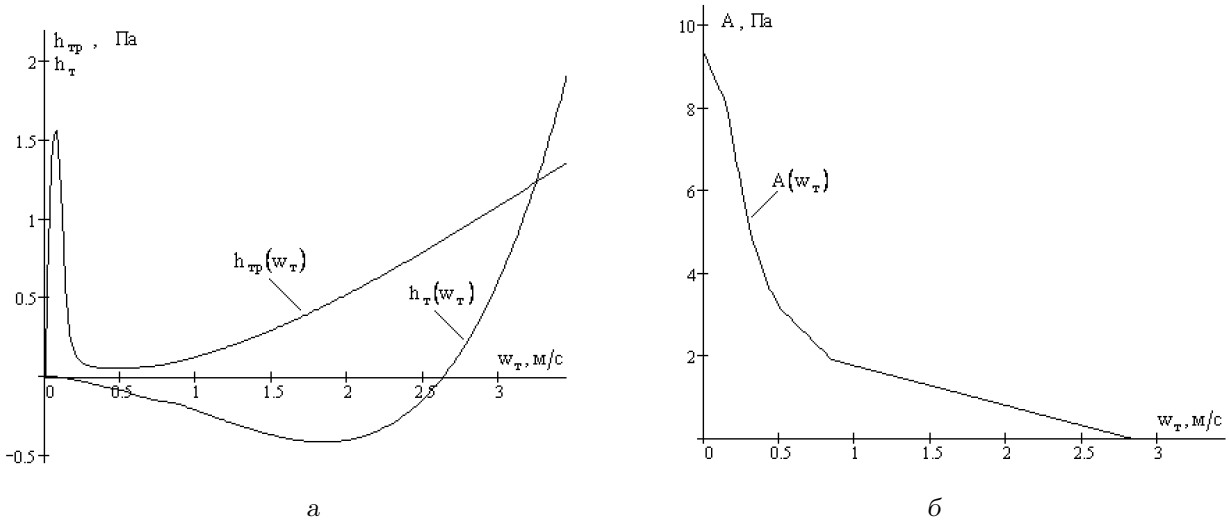


Рис. 2. Некоторые параметры рассматриваемой автоколебательной системы при $l=1 \text{ м}$, $d=0.1 \text{ м}$, $W_0=505 \text{ Вт}$ [12]:

а – сопротивления $h_{tr}(w_T)$ и $h_T(w_T)$; б – давление подъемной силы $A(w_T)$

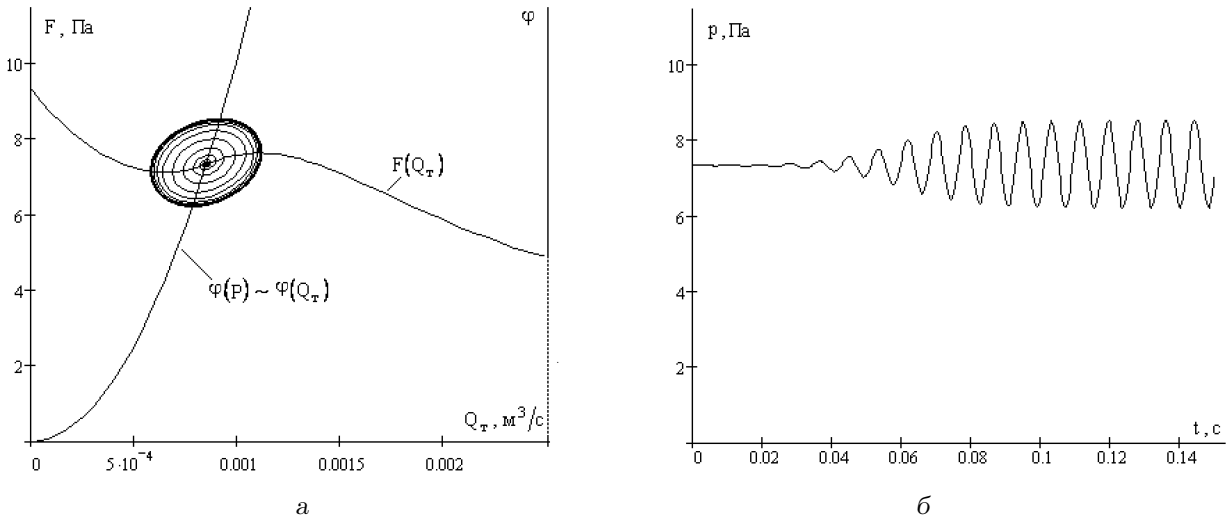


Рис. 3. Характеристики автоколебаний в трубе Рийке:

а – предельный цикл; б – временная зависимость $p(t)$

Движение воздуха в трубе Рийке (см. рис. 1) осуществляется под действием равнодействующей сил Архимеда и веса, суммарное давление которых $A=A(w_T)$ представляет монотонно убывающую зависимость (рис. 2, б). Восходящая ветвь напорной характеристики $F(Q_T)$ (рис. 3, а) порождается нисходящими ветвями отрицательных сопротивлений $h_{tr}(Q_T)$ и $h_T(Q_T)$ (см. рис. 2, а), из-за которых по аналогии со случаем, рассмотренным в [2], возбуждаются автоколебания феномена Рийке, зафиксированные на временной диаграмме рис. 3, б.

ВЫВОДЫ

1. Установлено, что ветви отрицательных сопротивлений вязкостного и теплового при конвективном подводе теплоты в трубе Рийке составляют причину возникновения одноименного феномена, заключающегося в возбуждении автоколебаний.
2. Представлено расчетное построение напорной характеристики $F(Q_T)$, описывающей преобразование теплоты в напор из-за которого

образуется сквозное движение нагретого воздуха в трубе Рийке. Необходимое условие возбуждения автоколебаний в рамках феномена Рийке заключается в наличии восходящей ветви $dF(Q_T)/dQ_T > 0$.

БЛАГОДАРНОСТИ

Авторы выражают глубокую благодарность и искреннюю признательность академику НАН Украины профессору В. Т. Гринченко за активное участие в обсуждении и анализе результатов, полученных в данной работе.

1. Харкевич А. А. Автоколебания. – М.: Гостехиздат, 1954. – 172 с.
2. Казакевич В. В. Автоколебания (помпаж) в компрессорах. – М.: Машиностроение, 1974. – 264 с.
3. Гершуни Г. З. Гидродинамическая неустойчивость. Изотермические течения // Соросов. обзор. ж. – 1997. – № 2. – С. 99–106.
4. Мелких А. В., Селезнев В. Д. Автоколебания неизоэнтальпического течения вязкой жидкости в канале // ТВТ. – 2008. – 46, № 1. – С. 100–109.
5. Куприн А. И., Гоцуленко В. Н. К определению режима работы сифона // Инж.-физ. ж. – 1987. – 52, № 6. – С. 916–920.
6. Беляев Н. М., Белик Н. П., Польшин А. В. Термоакустические колебания газожидкостных потоков в сложных трубопроводах энергетических установок. – К.: Вища школа, 1985. – 160 с.
7. Гоцуленко В. В. Математическое моделирование особенностей феномена Рийке // Мат. моделир. – 2004. – 16, № 9. – С. 23–28.
8. Гоцуленко В. В., Гоцуленко В. Н. Тепловое сопротивление как механизм возбуждения автоколебаний // Сб. науч. тр. Днепродзерж. гос. техн. ун-та. – Днепродзержинск, 2009. – С. 95–100.
9. Gotsulenko V. V. Special modes of the Pijke phenomenon // J. Eng. Phys. Thermophys. – 2005. – 78, № 2. – P. 375–379.
10. Раушенбах Б. В. Вибрационное горение. – М.: Физматгиз, 1961. – 500 с.
11. Басок Б. И., Гоцуленко В. В. Стабилизация неустойчивого положения равновесия при теплоподводе параметрическими колебаниями // Тр. ИПММ НАН Украины. – 2010. – 21. – С. 19–31.
12. Москвичев Д. Ю. Исследование влияния акустических резонаторов на термоакустические процессы в установках с теплоподводом. – Новосибирск: Ин-т теор. прикл. мех. им. С. А. Христиановича РАН, 2007. – 118 с.
13. Абрамович Г. Н. Прикладная газовая динамика. – М.: Наука, 1969. – 824 с.